

Starkniederschlagshöhen und -spenden gemäß KOSTRA-DWD-2020

Rasterfeld 152162

(Zeile 152, Spalte 162)

Regenspende und Bemessungsniederschlagswerte in Abhängigkeit von Wiederkehrzeit T und Dauerstufe D

| Dauerstufe D | | Wiederkehrzeit T | | | | | | | | | | | | | | | | | |
|--------------|-----|------------------|------------|------|------------|------|------------|-------|------------|-------|------------|-------|------------|-------|------------|-------|------------|-------|------------|
| | | 1 a | | 2 a | | 3 a | | 5 a | | 10 a | | 20 a | | 30 a | | 50 a | | 100 a | |
| min | Std | mm | l / (s ha) | mm | l / (s ha) | mm | l / (s ha) | mm | l / (s ha) | mm | l / (s ha) | mm | l / (s ha) | mm | l / (s ha) | mm | l / (s ha) | mm | l / (s ha) |
| 5 | | 7,2 | 240,0 | 8,8 | 293,3 | 9,9 | 330,0 | 11,2 | 373,3 | 13,2 | 440,0 | 15,2 | 506,7 | 16,5 | 550,0 | 18,2 | 606,7 | 20,7 | 690,0 |
| 10 | | 9,4 | 156,7 | 11,6 | 193,3 | 13,0 | 216,7 | 14,8 | 246,7 | 17,3 | 288,3 | 20,0 | 333,3 | 21,7 | 361,7 | 24,0 | 400,0 | 27,3 | 455,0 |
| 15 | | 10,9 | 121,1 | 13,4 | 148,9 | 15,0 | 166,7 | 17,0 | 188,9 | 20,0 | 222,2 | 23,0 | 255,6 | 25,0 | 277,8 | 27,6 | 306,7 | 31,4 | 348,9 |
| 20 | | 11,9 | 99,2 | 14,7 | 122,5 | 16,4 | 136,7 | 18,7 | 155,8 | 21,9 | 182,5 | 25,3 | 210,8 | 27,5 | 229,2 | 30,3 | 252,5 | 34,5 | 287,5 |
| 30 | | 13,5 | 75,0 | 16,7 | 92,8 | 18,6 | 103,3 | 21,2 | 117,8 | 24,8 | 137,8 | 28,6 | 158,9 | 31,1 | 172,8 | 34,4 | 191,1 | 39,0 | 216,7 |
| 45 | | 15,2 | 56,3 | 18,8 | 69,6 | 21,0 | 77,8 | 23,8 | 88,1 | 28,0 | 103,7 | 32,3 | 119,6 | 35,1 | 130,0 | 38,7 | 143,3 | 44,0 | 163,0 |
| 60 | 1 | 16,5 | 45,8 | 20,4 | 56,7 | 22,8 | 63,3 | 25,9 | 71,9 | 30,4 | 84,4 | 35,0 | 97,2 | 38,1 | 105,8 | 42,1 | 116,9 | 47,8 | 132,8 |
| 90 | 1,5 | 18,5 | 34,3 | 22,8 | 42,2 | 25,5 | 47,2 | 29,0 | 53,7 | 34,0 | 63,0 | 39,2 | 72,6 | 42,6 | 78,9 | 47,1 | 87,2 | 53,5 | 99,1 |
| 120 | 2 | 20,0 | 27,8 | 24,7 | 34,3 | 27,6 | 38,3 | 31,4 | 43,6 | 36,8 | 51,1 | 42,5 | 59,0 | 46,2 | 64,2 | 51,0 | 70,8 | 57,9 | 80,4 |
| 180 | 3 | 22,4 | 20,7 | 27,6 | 25,6 | 30,8 | 28,5 | 35,0 | 32,4 | 41,1 | 38,1 | 47,4 | 43,9 | 51,5 | 47,7 | 56,9 | 52,7 | 64,7 | 59,9 |
| 240 | 4 | 24,2 | 16,8 | 29,8 | 20,7 | 33,3 | 23,1 | 37,9 | 26,3 | 44,5 | 30,9 | 51,3 | 35,6 | 55,7 | 38,7 | 61,5 | 42,7 | 69,9 | 48,5 |
| 360 | 6 | 27,0 | 12,5 | 33,2 | 15,4 | 37,1 | 17,2 | 42,2 | 19,5 | 49,6 | 23,0 | 57,1 | 26,4 | 62,1 | 28,8 | 68,6 | 31,8 | 77,9 | 36,1 |
| 540 | 9 | 30,1 | 9,3 | 37,0 | 11,4 | 41,4 | 12,8 | 47,1 | 14,5 | 55,2 | 17,0 | 63,7 | 19,7 | 69,2 | 21,4 | 76,5 | 23,6 | 86,8 | 26,8 |
| 720 | 12 | 32,4 | 7,5 | 40,0 | 9,3 | 44,7 | 10,3 | 50,8 | 11,8 | 59,6 | 13,8 | 68,8 | 15,9 | 74,7 | 17,3 | 82,5 | 19,1 | 93,8 | 21,7 |
| 1080 | 18 | 36,1 | 5,6 | 44,5 | 6,9 | 49,7 | 7,7 | 56,6 | 8,7 | 66,4 | 10,2 | 76,6 | 11,8 | 83,2 | 12,8 | 91,9 | 14,2 | 104,4 | 16,1 |
| 1440 | 24 | 39,0 | 4,5 | 48,1 | 5,6 | 53,7 | 6,2 | 61,1 | 7,1 | 71,7 | 8,3 | 82,7 | 9,6 | 89,8 | 10,4 | 99,2 | 11,5 | 112,7 | 13,0 |
| 2880 | 48 | 46,9 | 2,7 | 57,8 | 3,3 | 64,5 | 3,7 | 73,4 | 4,2 | 86,2 | 5,0 | 99,3 | 5,7 | 108,0 | 6,3 | 119,3 | 6,9 | 135,5 | 7,8 |
| 4320 | 72 | 52,2 | 2,0 | 64,3 | 2,5 | 71,8 | 2,8 | 81,7 | 3,2 | 95,9 | 3,7 | 110,6 | 4,3 | 120,2 | 4,6 | 132,8 | 5,1 | 150,8 | 5,8 |
| 5760 | 96 | 56,3 | 1,6 | 69,4 | 2,0 | 77,5 | 2,2 | 88,2 | 2,6 | 103,5 | 3,0 | 119,4 | 3,5 | 129,7 | 3,8 | 143,3 | 4,1 | 162,8 | 4,7 |
| 7200 | 120 | 59,8 | 1,4 | 73,6 | 1,7 | 82,3 | 1,9 | 93,6 | 2,2 | 109,8 | 2,5 | 126,6 | 2,9 | 137,6 | 3,2 | 152,0 | 3,5 | 172,7 | 4,0 |
| 8640 | 144 | 62,7 | 1,2 | 77,3 | 1,5 | 86,3 | 1,7 | 98,2 | 1,9 | 115,3 | 2,2 | 132,9 | 2,6 | 144,4 | 2,8 | 159,5 | 3,1 | 181,2 | 3,5 |
| 10080 | 168 | 65,3 | 1,1 | 80,5 | 1,3 | 89,9 | 1,5 | 102,3 | 1,7 | 120,1 | 2,0 | 138,4 | 2,3 | 150,4 | 2,5 | 166,2 | 2,7 | 188,8 | 3,1 |

Starkniederschlagshöhen und -spenden gemäß KOSTRA-DWD-2020

Rasterfeld 152162

(Zeile 152, Spalte 162)

Örtliche Unsicherheiten in Abhängigkeit von Wiederkehrzeit T und Dauerstufe D

| Dauerstufe D | | Wiederkehrzeit T | | | | | | | | |
|--------------|-----|------------------|-----|-----|-----|------|------|------|------|-------|
| | | 1 a | 2 a | 3 a | 5 a | 10 a | 20 a | 30 a | 50 a | 100 a |
| min | Std | ± % | ± % | ± % | ± % | ± % | ± % | ± % | ± % | ± % |
| 5 | | 11 | 12 | 12 | 13 | 13 | 14 | 14 | 15 | 15 |
| 10 | | 14 | 16 | 16 | 17 | 18 | 19 | 19 | 20 | 20 |
| 15 | | 16 | 18 | 19 | 20 | 20 | 21 | 22 | 22 | 23 |
| 20 | | 17 | 19 | 20 | 21 | 22 | 23 | 23 | 23 | 24 |
| 30 | | 18 | 20 | 21 | 22 | 23 | 24 | 24 | 24 | 25 |
| 45 | | 19 | 20 | 21 | 22 | 23 | 24 | 24 | 25 | 25 |
| 60 | 1 | 19 | 20 | 21 | 22 | 23 | 24 | 24 | 25 | 25 |
| 90 | 1,5 | 18 | 20 | 21 | 22 | 23 | 23 | 24 | 24 | 25 |
| 120 | 2 | 17 | 19 | 20 | 21 | 22 | 23 | 23 | 24 | 24 |
| 180 | 3 | 17 | 18 | 19 | 20 | 21 | 22 | 22 | 23 | 23 |
| 240 | 4 | 16 | 18 | 18 | 19 | 20 | 21 | 21 | 22 | 22 |
| 360 | 6 | 15 | 17 | 17 | 18 | 19 | 20 | 20 | 21 | 21 |
| 540 | 9 | 14 | 16 | 16 | 17 | 18 | 19 | 19 | 20 | 20 |
| 720 | 12 | 13 | 15 | 16 | 16 | 17 | 18 | 18 | 19 | 19 |
| 1080 | 18 | 13 | 14 | 15 | 16 | 16 | 17 | 17 | 18 | 18 |
| 1440 | 24 | 13 | 14 | 14 | 15 | 16 | 16 | 17 | 17 | 18 |
| 2880 | 48 | 13 | 13 | 14 | 14 | 15 | 15 | 16 | 16 | 16 |
| 4320 | 72 | 13 | 13 | 14 | 14 | 15 | 15 | 15 | 15 | 16 |
| 5760 | 96 | 14 | 14 | 14 | 14 | 15 | 15 | 15 | 15 | 16 |
| 7200 | 120 | 14 | 14 | 14 | 14 | 15 | 15 | 15 | 15 | 16 |
| 8640 | 144 | 15 | 15 | 15 | 15 | 15 | 15 | 15 | 15 | 16 |
| 10080 | 168 | 15 | 15 | 15 | 15 | 15 | 15 | 15 | 16 | 16 |

Parameter für abweichende T und D

Lokationsparameter ξ (Xi)

16,84798231

Skalenparameter α (Alpha)

5,44543773

Formparameter κ (Kappa)

-0,1

1. Koutsoyiannis-Parameter θ (Theta)

0,02553857

2. Koutsoyiannis-Parameter η (Eta)

0,73538825

Parameter für dauerstufenübergreifende Extremwertschätzung nach KOUTSOYIANNIS et al. 1998.

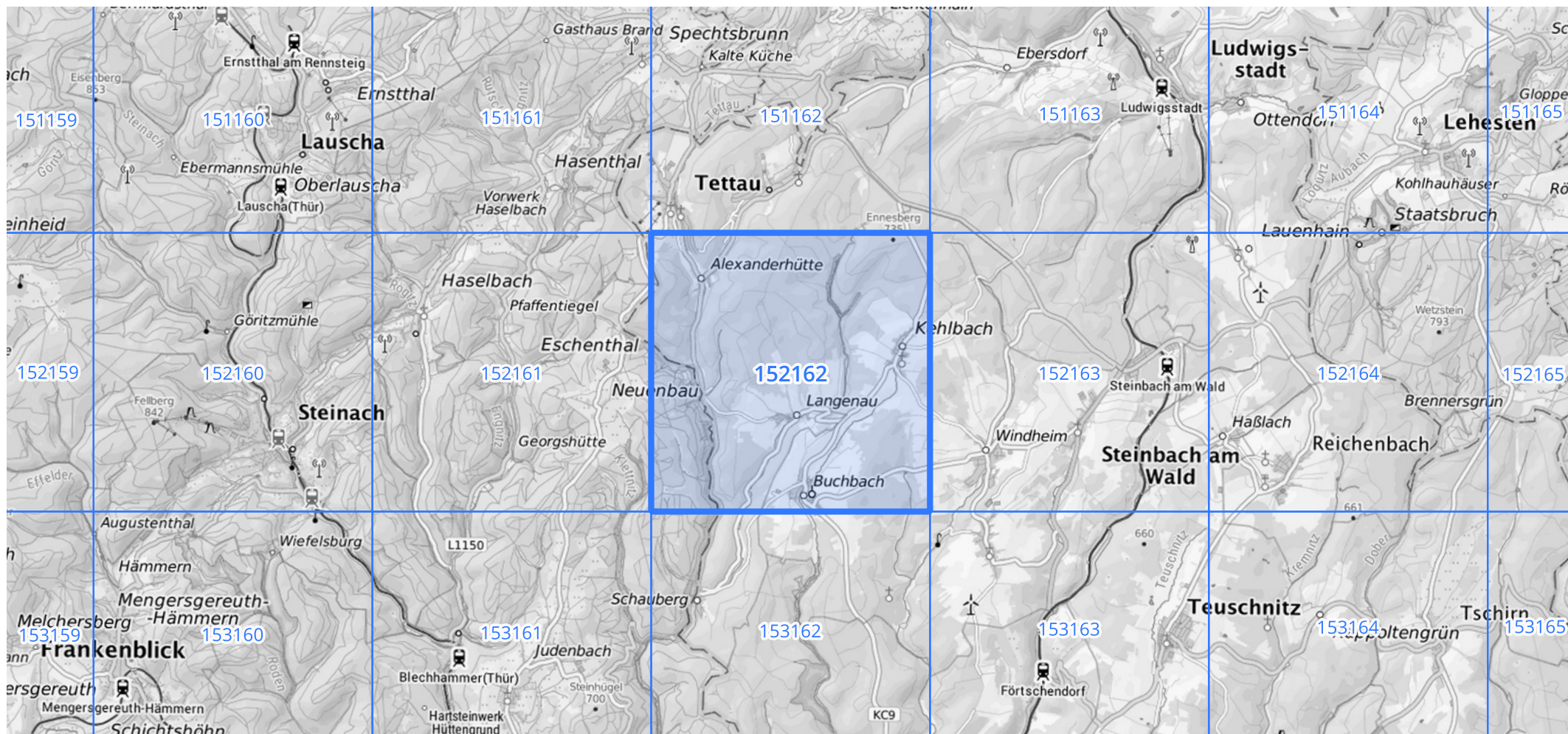
Siehe auch Anwendungshilfe zu KOSTRA-DWD-2020 des Deutschen Wetterdienstes.

Starkniederschlagshöhen und -spenden gemäß KOSTRA-DWD-2020

Rasterfeld 152162

(Zeile 152, Spalte 162)

Übersichtskarte des Rasterfeldes 152162, M 1 : 100 000



Quelle Rasterdaten: KOSTRA-DWD-2020 des Deutschen Wetterdienstes, Stand 12/2022.

Seite 3 von 3

Kartendarstellung: © Bundesamt für Kartographie und Geodäsie (2023), Datenquellen: https://sgx.geodatenzentrum.de/web_public/gdz/datenquellen/Datenquellen_TopPlusOpen.html

Für die Richtigkeit und Aktualität der Angaben wird keine Gewähr übernommen. Erstellt 01/2023.